

1. まえがき

コンクリートの時間依存ひずみ(乾燥収縮、クリープ)は長期的るものであり、しかも、種々な要因がそのひずみ性状に影響するため、限られた実測結果だけからこれらのひずみを予測することは極めて困難である。

本研究は、このようす観察から時間依存ひずみの生成機構を十分検討した上で、その機構を表示できる力学モデルの助けを借り、そのモデル要素値を従来の研究成果に基づいて一般化することにより、任意条件下での長期的ひずみ予測を行う方法を検討した。以下に時間依存ひずみの生成機構に関する考え方、ならびにその考え方に基づく力学モデル解析とその予測結果について報告する。

2. 時間依存ひずみの生成機構に関する考え方と力学モデル解析

コンクリートの時間依存ひずみの生成機構に関しては、従来から種々な説が提唱されてきたが、本研究では特にクリープひずみの生成機構に関して、次の2点に着目してモデル要素値を決定した。

(1). 遅れ弾性(回復性クリープ)はコンクリート複合体内での応力平衡化現象に起因するひずみ成分である。

(2). 流動(非回復性クリープ)はセメントの水和反応等による化学的要因と力の作用による物理的要因との複合効果により発生するひずみ成分である。

(1)に関しては既に報告済であるので、本報では(2)に関する考え方を簡単に説明する。現在、流動の生成機構に関してはSæppelé説が最も有力視されている。この説は外力あるいは毛細管張力等の作用でセメントゲルネットのゲル水が圧出されるため変形すると考えるものであるが、そのようなSæppelé作用が実測されてクリープ現象のように数十年間も継続するとは考え難い。そこで本研究ではこのひずみの生成機構を(2)のように推定した。すなわち、セメントマトリックスやマトリックスと骨材粒子との界面で何らかの化学的変化が生じている過程で力の作用を受けて場合、始めてその力の方向にひずみが助長されるとする考え方である。このように考えれば、ひずみの影響要因やその複雑な挙動をより適確に説明できるようと思われる。以上のような考え方に基づき、本研究では図-1に示す力学モデルの要素値を次のように定めた。

腕の長さの決定 … 配合条件から骨材部の容積割合(l_1)とペースト部のそれ(l_2)を求める。ペースト部の容積割合は更に力を受け持てる連結固相(l_{11})、流動を生じる未連結の固相(l_{12})および力を受け持てない気・液相(l_{13})に分け、これらの経時変化はセメントの水和過程から式-1、-2のように決定する。なお、低水セメント比($\pi/c \leq 0.42$)で完全水和に必要な水量が不足するときは、その未水和セメント粒子は骨材と考える。次に骨材部もペースト部と同様に結合程度を考慮して三相に分割する。

ベネ定数の決定 … ベネ定数 G_1, G_2 はモデルの関係上、 $G_1 = l_{11}E_{cp}, G_2 = l_{22}E_a$ となるが、本研究では従来の実験結果を参考にして $E_{cp} = 3.0 \times 10^5 \text{ kgf/cm}^2, E_a = 6.5 \times 10^5 \text{ kgf/cm}^2$ と定める。なお、 E_a は使用骨材の特性を考慮して決定すべきものである。

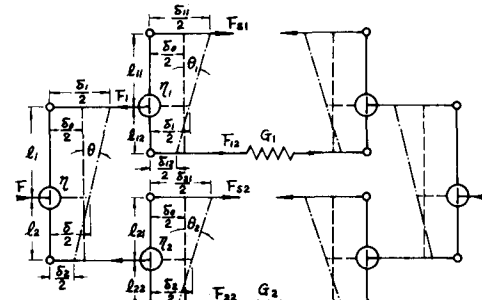


図-1 力の平衡化回転モード

$$\begin{aligned} l_{12} &= CC - l_{11}CCDX(1-e^{AX}) - (1-e^{AY}) \\ &\quad \cdots \quad (1) \\ &\text{ここで } CC = (C/C_f + 0.23C)/1000 \\ &DX = (D-2X)^2/D^2 \\ &X = 15(1-RH)e^{AY} \\ &AY = A0(T-H-0.25)^{1/4} \\ &AX = A0(T-0.25)^{1/4} \\ &A0 = -(0.20+0.15\sqrt{C_f})^3 \\ &AZ = -0.15(T-TH)^{1/3}/HY \\ &HY = 1 - (1-DX)e^{AY} \\ &X: \text{乾燥の深さ}, D: \text{部材幅} \\ &TH: \text{乾燥開始時間} \\ &T: \text{任意時間}, HY: \text{水和度} \end{aligned}$$

$$\begin{aligned} &AY, AX: \text{セメントの水和速度係数} \\ &AZ: \text{乾燥速度係数} \\ &CC: \text{セメント水和固相の終局値} \\ &Y = 2 \times 10^5 \sqrt{C_f/HY} \cdot HY \cdot (l_{11}/cc)^3 \\ &Z = 4Z_1, Z_2 = 10Z_1 \quad \cdots \quad (3) \\ &F_{s1} = \beta l_{12} \{1 - e^{\alpha(T-TH)}\} \\ &F_{s2} = \beta l_{22} \{1 - e^{\alpha(T-TH)}\} \quad \cdots \quad (4) \\ &\text{ここで } \alpha = -100/(HY \cdot D^2) \\ &\beta = 1500(1-RH)HY(I-e^{-AY}) \\ &I = \beta/2 \\ &RH: \text{相対湿度} \end{aligned}$$

回転粘性係数の決定 … 回転ダッシュ
パットは応力平衡化や流動を表示するための仮想要素であり、従って、それらの値はひずみ挙動全般を考慮して定めなければならない。ただし、 η_1 は主に遅れ弾性に、 η_2 はペースト部の流動に、 η_3 は骨材部の流動に関連している。なお、本研究では実測曲線等を参考にして式-3 のように定める。

吸引力の決定 … モデル中
の吸引力 F_{s1} 、 F_{s2} はコンクリート
の乾燥に伴う毛細管張力を仮想
したものであり、相対湿度(R.H.)
と毛細管張力(AP)との関係を単
純化して式-4 のように定める。

以上のようにモデル要素値を
決定したが、全要素値とも時間
の関係であるため、これらの値

を用いて直接モデル解析することは不可能である。そこで、要素
値が定数であるとしてモデル解析して後、時間間隔を適当に区切
り、各時間間隔毎に要素値が段階的に変化するとして表計算を行った。力学モデルによる予測結果を図-2～8に示す。

3. 力学モデルによる予測結果

紙面の関係上、各予測結果についての考察は割愛するが、全般的には従来の実験結果やJCI 示方書に示されている Ruisch の予測結果とはほぼ一致している。ただし、Ruisch の予測では環境条件に
関する流動の基本クリープ係数値(ϕ_{f0})を骨材とは無関係に定め
ているが、図-3、-4 のように予測結果では水中クリープと空
気中クリープとの関係が骨材で大幅に相
違すること、あるいは乾燥収縮量が示方
書の2倍以上大きいこと等、今後検討す
べき点もある。なお、図-7、-8 は長滲
等の実測結果と比較したものであり、図
示するよう、クリープひずみに関する
ことはほぼ一致しているが、乾燥収縮ひずみ
の場合は、今後更に検討すべきである。

最後に本研究では温度の影響に関して
は十分な実測結果がないため、考慮して
いない。

* 参考文献：長滲・米倉 “高強度コンクリートの乾燥収縮及びクリープの特性” コンクリート工学 Vol.20, No.4, 1982

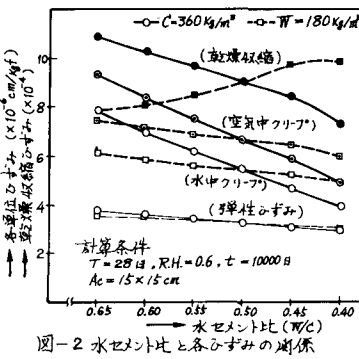


図-2 水セメント比と各ひずみの関係

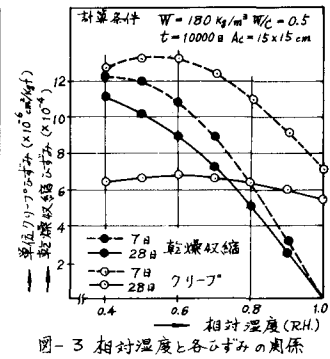


図-3 相対湿度と各ひずみの関係

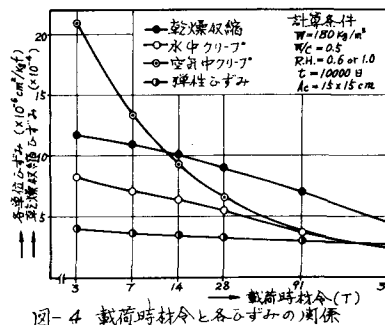


図-4 載荷時材令と各ひずみの関係

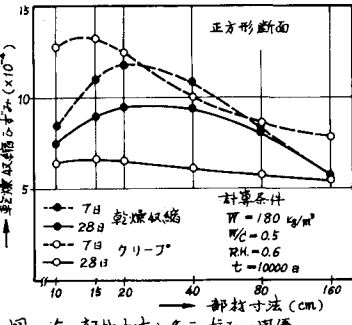


図-5 部材寸法と各ひずみの関係

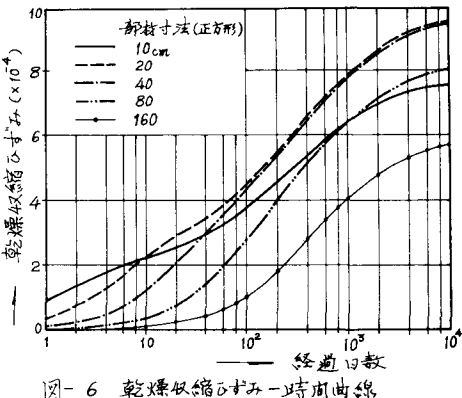


図-6 乾燥収縮ひずみ-時間曲線

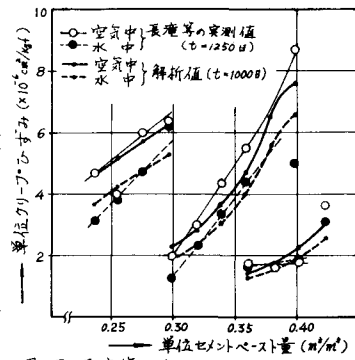


図-7 長滲等の実測値と解析値との比較

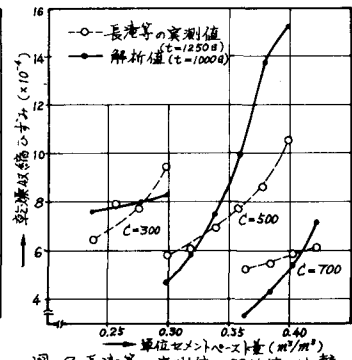


図-8 長滲等の実測値と解析値との比較